# Kernels, kernels... are you nuts?

Frantz Martinache

January 29, 2016



### **Outline**



- les limites de l'imagerie OA
- l'interférométrie à masque non-redondant

## 2 les principes

- images dominées par la diffraction
- modèles élémentaires
- généralisation de l'approche

# des applications

- détection de compagnons
- analyse de surface d'onde
- conclusions
  - Project KERNEL

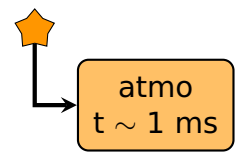


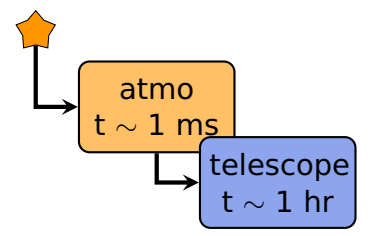
### Topic

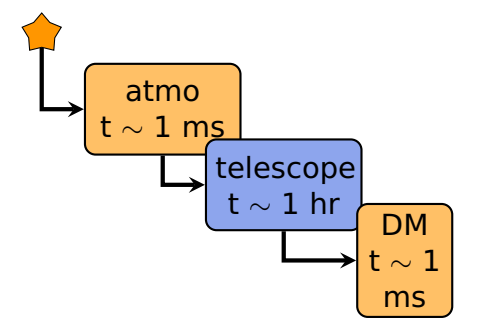
- un peu de contexte
  - les limites de l'imagerie OA
  - l'interférométrie à masque non-redondant
- 2 les principes
  - images dominées par la diffraction
  - modèles élémentaires
  - généralisation de l'approche
- des applications
  - détection de compagnons
  - analyse de surface d'onde
- Conclusions
  - Project KERNEL

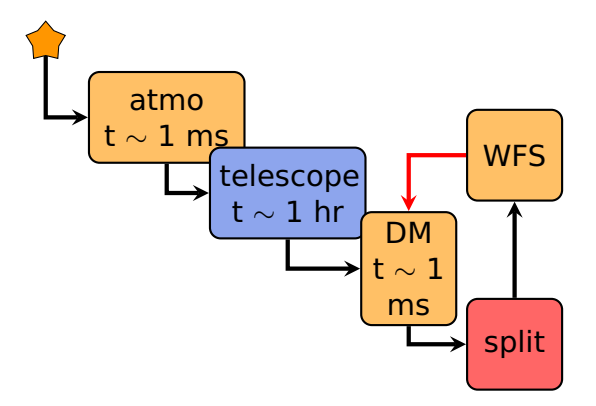


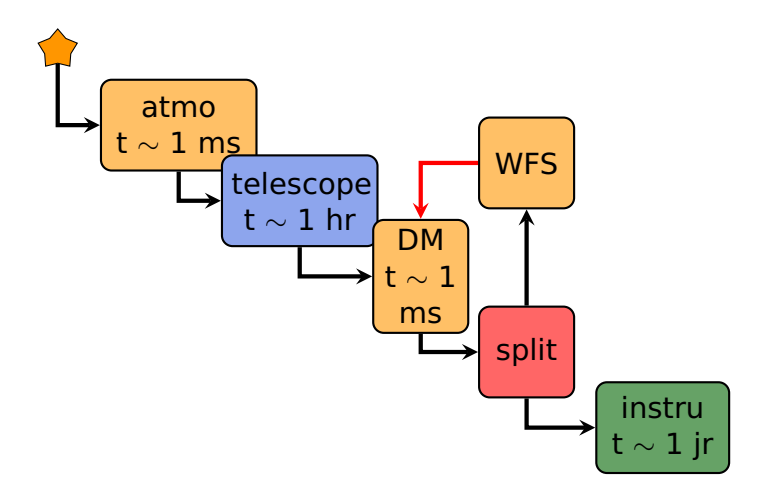


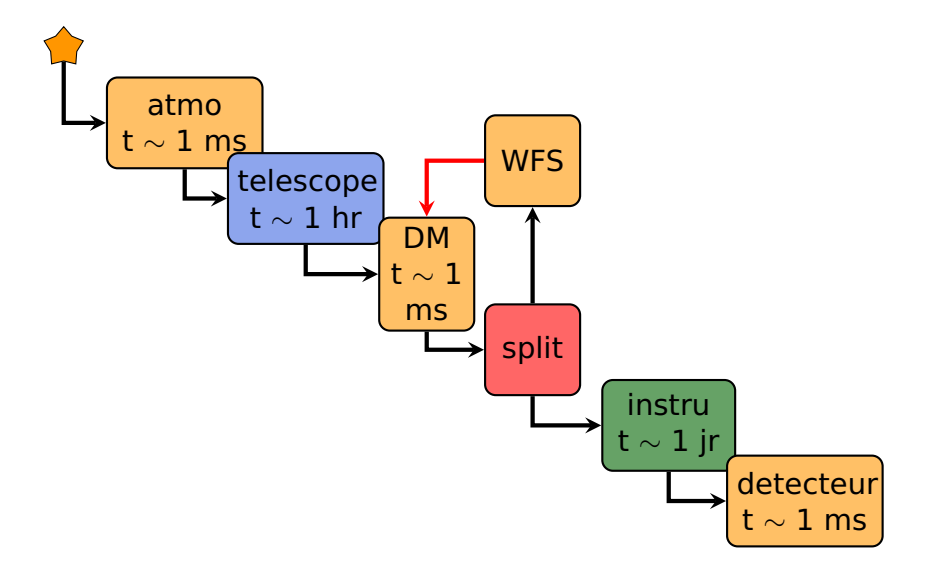


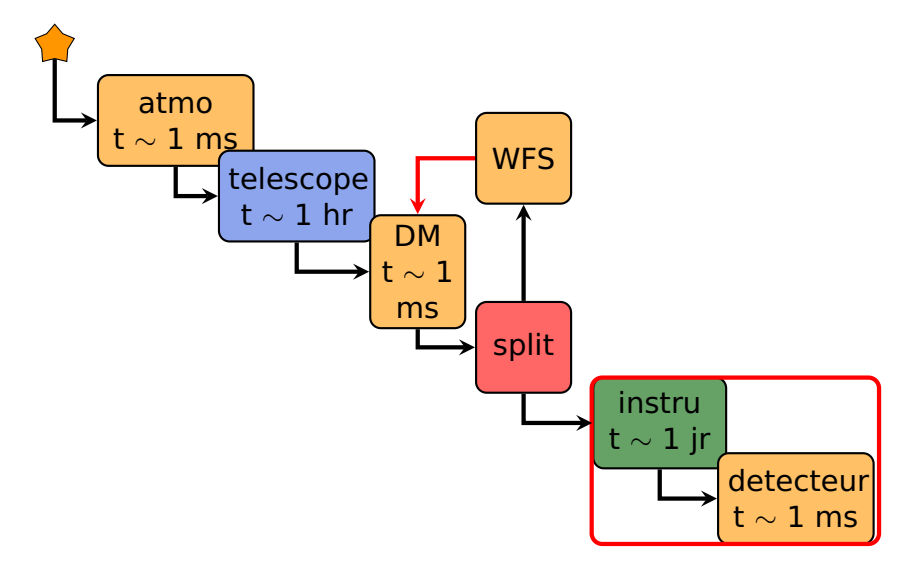


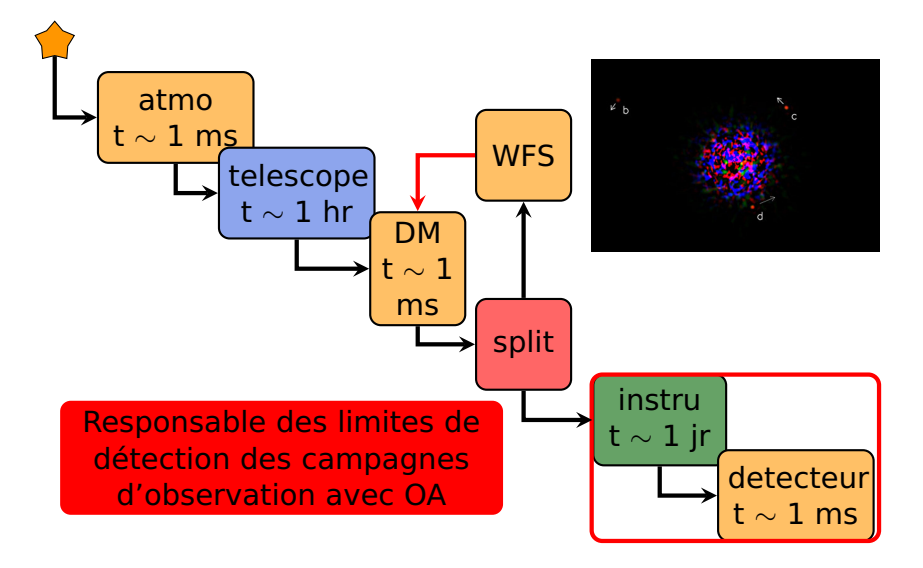




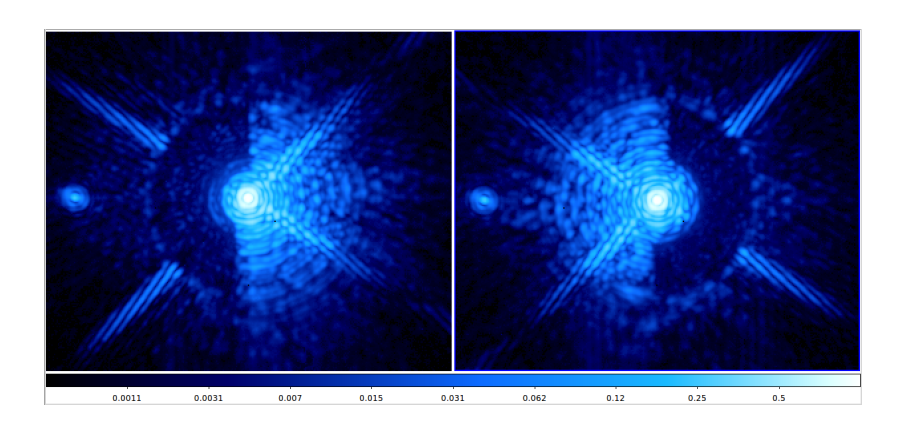








### besoin d'analyse dans le plan focal<sup>1</sup>

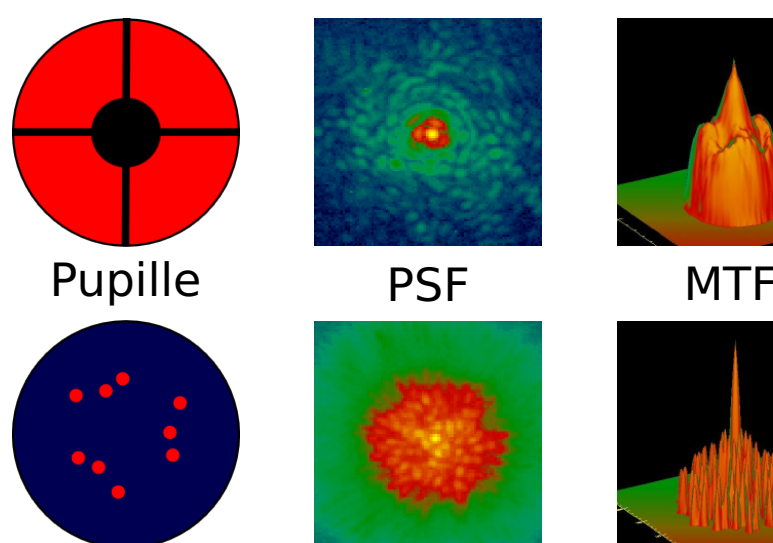


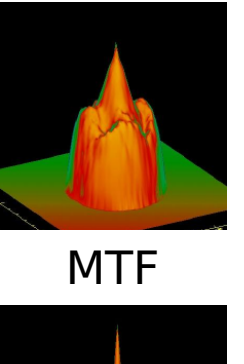
Contrôle actif des speckles avec le DM depuis le plan focal de SCExAO.



<sup>&</sup>lt;sup>1</sup>Martinache, 2014, SPIE

# NRMI: schéma de principe



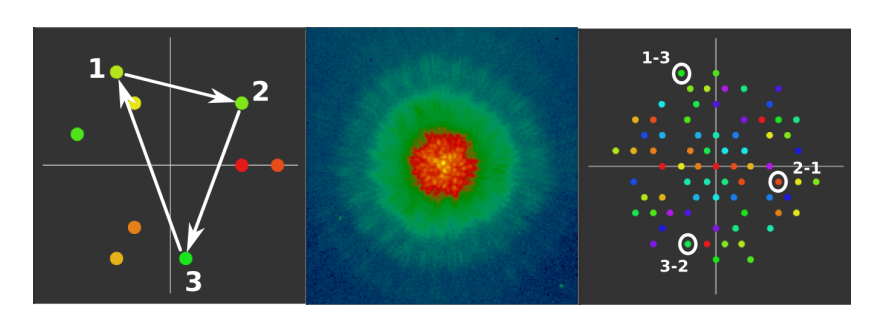




# clôture de phase<sup>2</sup>

un peu de contexte

00000



### equations pour la phase

$$\bullet \ \Phi(1-2) = \Phi(1-2)_0 + (\varphi_1 - \varphi_2)$$

$$\Phi(2-3) = \Phi(2-3)_0 + (\varphi_2 - \varphi_3)$$

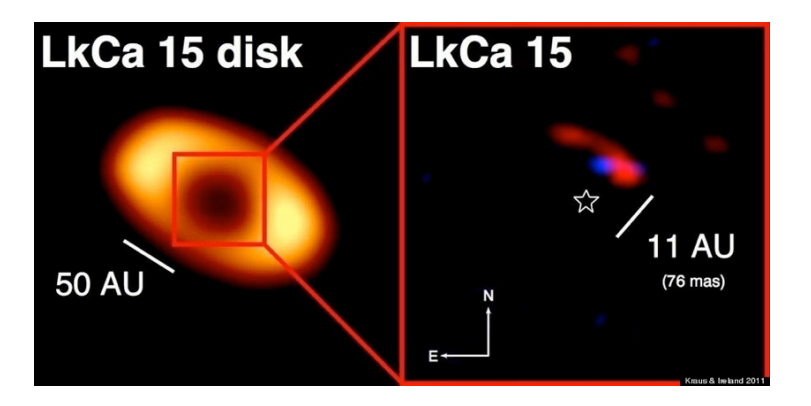
• 
$$\Phi(3-1) = \Phi(3-1)_0 + (\varphi_3 - \varphi_1)$$



conclusions

<sup>&</sup>lt;sup>2</sup>Jennison, 1958, MNRAS, 118, 276

### étoile T-Tauri LkCa 15<sup>3</sup>



Compagnon planétaire découvert par interférométrie



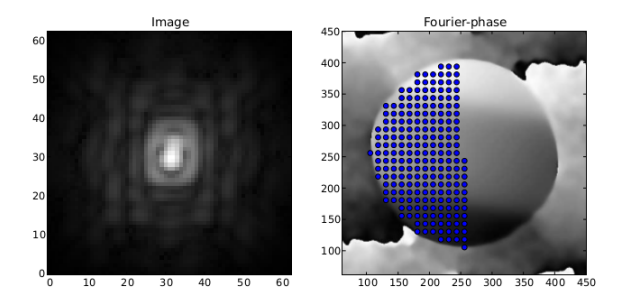
<sup>&</sup>lt;sup>3</sup>Kraus & Ireland, 2012, ApJ, 745, 5

### Topic

- un peu de contexte
  - les limites de l'imagerie OA
  - l'interférométrie à masque non-redondant
- 2 les principes
  - images dominées par la diffraction
  - modèles élémentaires
  - généralisation de l'approche
- des applications
  - détection de compagnons
  - analyse de surface d'onde
- conclusions
  - Project KERNEL



### relation de convolution

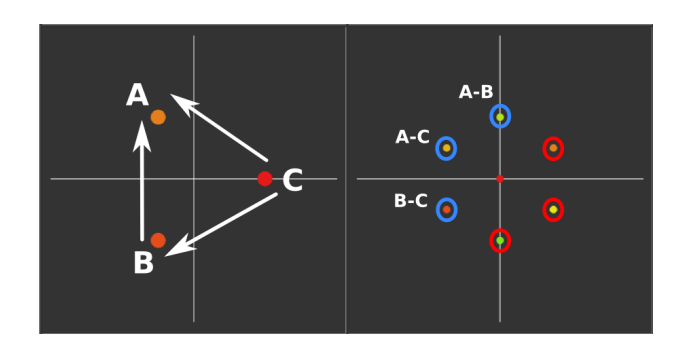


**Figure :** Signature objet binaire, dans l'image et dans l'espace de Fourier

### revoir la convolution dans l'espace de Fourier?



### modèle élémentaire 1: triangle



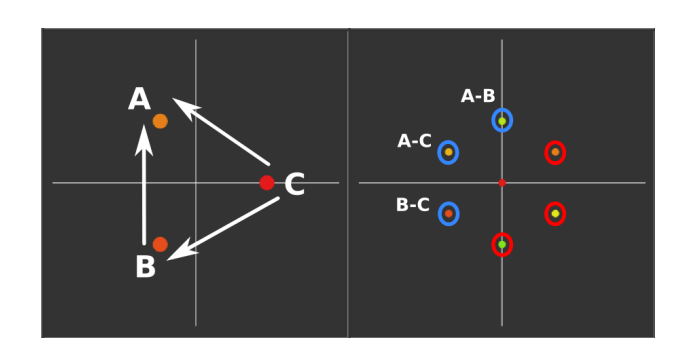
### relations linéaires

un peu de contexte



conclusions

### modèle élémentaire 1: triangle - revisité



### linear model

$$\Phi = \Phi_0 + A \cdot \varphi$$

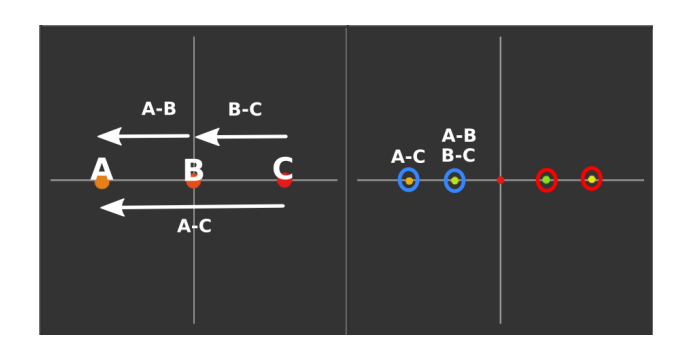
$$\mathbf{A} = \begin{bmatrix} 1 & -1 & 0 \\ 1 & 0 & -1 \\ 0 & 1 & -1 \end{bmatrix}$$

#### kernel

$$\mathbf{K} = \begin{bmatrix} 1 & -1 & 1 \end{bmatrix}$$
  
Verifies  $\mathbf{K} \cdot \mathbf{A} = 0$ 



## modèle élémentaire 2: en ligne

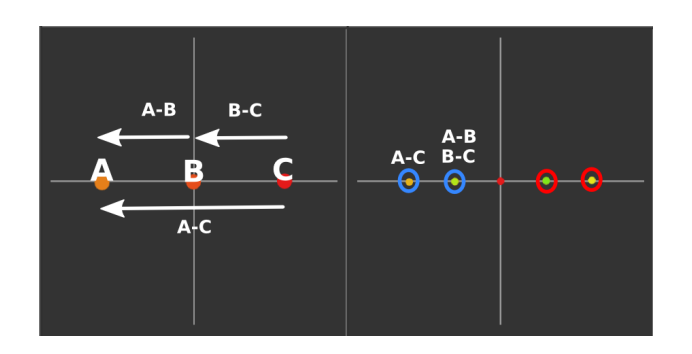


### relations de départ

• 
$$\Phi(A-C) = \Phi(A-C)_0 + (\varphi_A - \varphi_C)$$

• 
$$\Phi(B-C) = Arg\left(e^{i(\Phi_0 + (\varphi_A - \varphi_B))} + e^{i(\Phi_0 + (\varphi_B - \varphi_C))}\right)$$

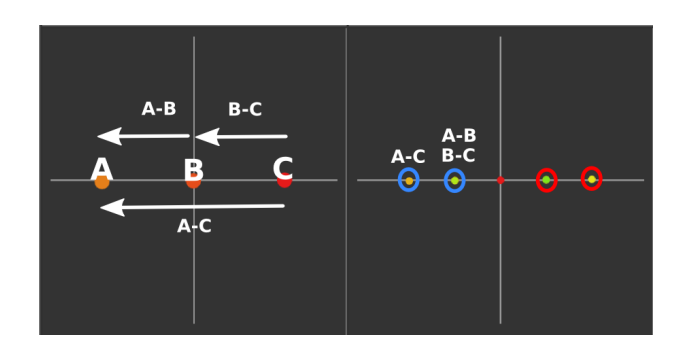
# modèle élémentaire 2: en ligne - linéarisé



#### relations linéarisées

- $\Phi(A-C) = \Phi(A-C)_0 + (\varphi_A \varphi_C)$
- $\Phi(B-C)\approx\Phi(B-C)_0+\frac{1}{2}\times(\varphi_A-\varphi_C)$

### modèle élémentaire 2: en ligne - revisité



### linear model

$$\Phi = \Phi_0 + R^{-1} \cdot A \cdot \varphi$$

$$\mathbf{A} = \begin{bmatrix} 1 & 0 & -1 \\ 1 & 0 & -1 \end{bmatrix} \mathbf{R} = \begin{bmatrix} 1 & 0 \\ 0 & 2 \end{bmatrix}$$

#### kernel

$$\mathbf{K} = \begin{bmatrix} 1 & -2 \end{bmatrix}$$

Verifies  $\mathbf{K} \cdot \mathbf{R}^{-1} \cdot \mathbf{A} = 0$ 

### modèle élémentaire 3: le carré



### modèle linéaire

$$\mathbf{R} = \begin{bmatrix} 1 & 0 & 0 & 0 \\ 0 & 2 & 0 & 0 \\ 0 & 0 & 2 & 0 \\ 0 & 0 & 0 & 1 \end{bmatrix} \mathbf{A} = \begin{bmatrix} 0 & -1 & 0 & 1 \\ 1 & -1 & -1 & 1 \\ -1 & -1 & 1 & 1 \\ 1 & 0 & -1 & 0 \end{bmatrix}$$

### kernels

$$\mathbf{K} = \begin{bmatrix} 1 & -2 & 0 & 1 \\ 1 & 0 & -2 & -1 \end{bmatrix}$$



## phase linéarisée

#### grâce à l'OA

L'équation de la phase d'une composante de Fourier:

$$\Phi^k = \Phi_0^k + Arg\left(\exp(j\sum_{i=0}^r \Delta\varphi_i)\right)$$

Peut se linéariser:

$$\Phi^k \approx \Phi_0^k + \frac{1}{r} \sum_{i=0}^r \Delta \varphi_i$$

#### la relation de convolution est simplifiée

$$I = O \otimes PSF \Rightarrow \Phi = \Phi_0 + A \cdot \varphi$$

# deux espaces orthogonaux

#### modèle de base

$$\Phi = \Phi_0 + A \cdot \varphi$$

#### kernel-phase

$$K \Phi = K\Phi_0 + KA\varphi$$

$$K \Phi = K\Phi_0$$

(kernel-phase)

### eigen-phase

$$\varphi = A^{-1} \cdot (\Phi - \Phi_0)$$
 (eigen-phase)

- Tout dépend des propriétés de A (SVD)
- Qui dépendent de la géométrie de la pupille

## représentation discrète de la pupille 1

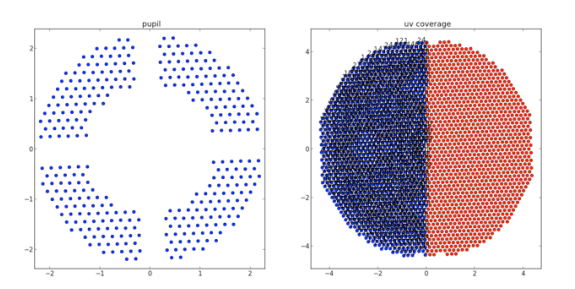


Figure: Palomar Hale Telescope (PHARO Med-cross)

#### modèle discretisé

- 332 échantillons dans la pupille
- 1128 fréquences spatiales distinctes
- 962 kernels (85 % de l'information de phase)

## représentation discrète de la pupille 2

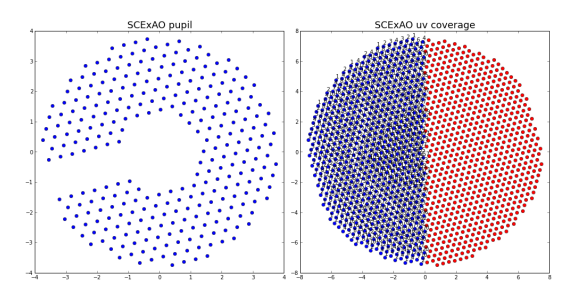
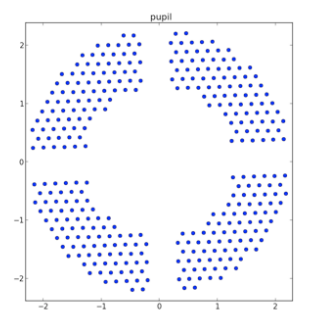


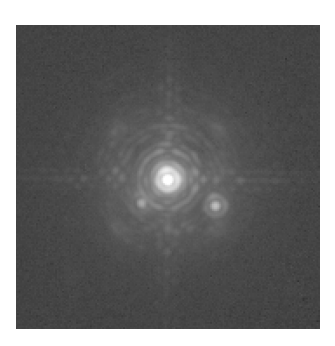
Figure: SCExAO (Subaru Telescope) Asym Pupil

#### modèle discretisé

- 292 échantillons dans la pupille
- 675 fréquences spatiales distinctes
- 383 kernel-phases
- 292 eigen-phases (pseudo-inverse complet!)

### construction du modèle





- grille périodique (encoder la redondance)
- densité modèle discret homothétique à l'original
- finesse de l'échantillonnage adaptée à l'objectif

### Il faut bien connaitre la pupille!

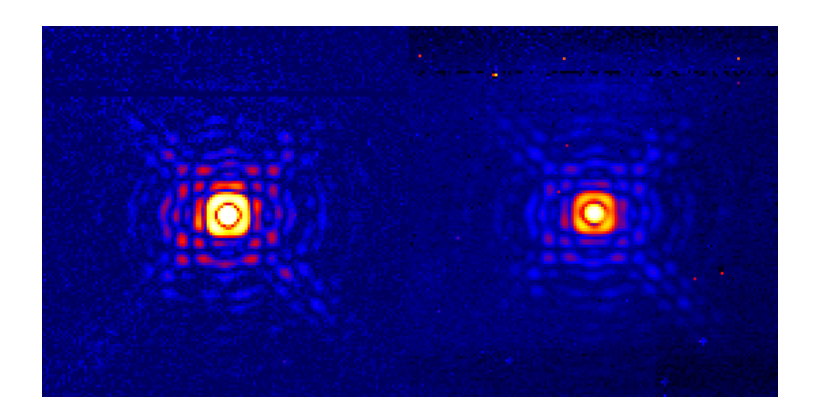


## Topic

- un peu de contexte
  - les limites de l'imagerie OA
  - l'interférométrie à masque non-redondant
- 2 les principes
  - images dominées par la diffraction
  - modèles élémentaires
  - généralisation de l'approche
- des applications
  - détection de compagnons
  - analyse de surface d'onde
- Conclusions
  - Project KERNEL



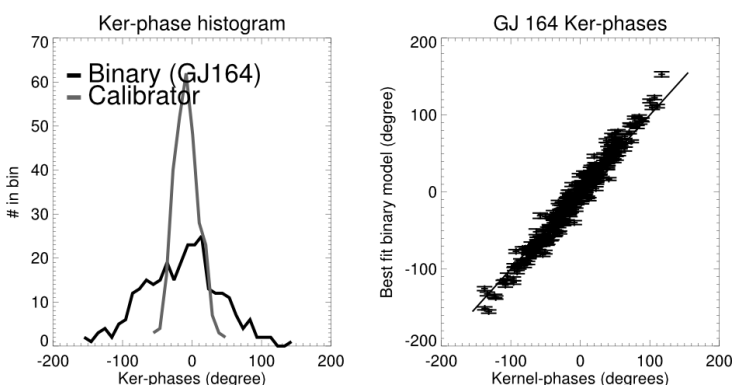
### images HST NICMOS 1 (F190N)



Images HST NICMOS 1: un point source et GJ 164.



## Kernels des mêmes images<sup>4</sup>

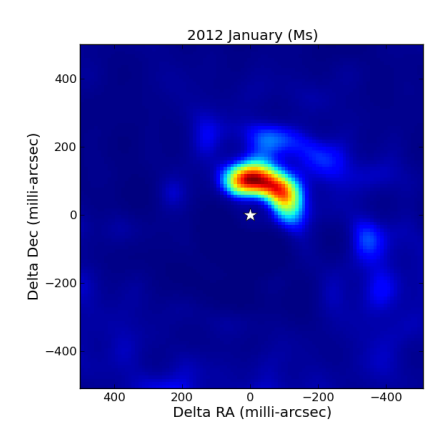


Histogramme de kernels - ajustement de GJ 164 par un modèle binaire: l'hypothèse d'un compagnon de contraste  $\sim 10:1$  à  $0.5\lambda/D$  est validée.



<sup>&</sup>lt;sup>4</sup>Martinache, 2010, ApJ, 724, 464

# LkCa 15 (bande M)<sup>5</sup>



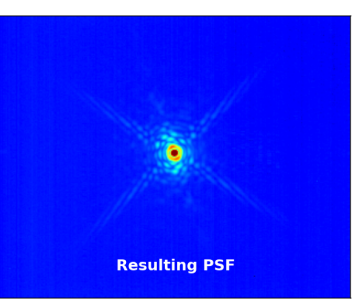
- Image reconstruite à partir de kernels
- Contraste  $\Delta = 3.5$  mag
- Séparation  $\sim$  80 mas





# Pupille asymétrique





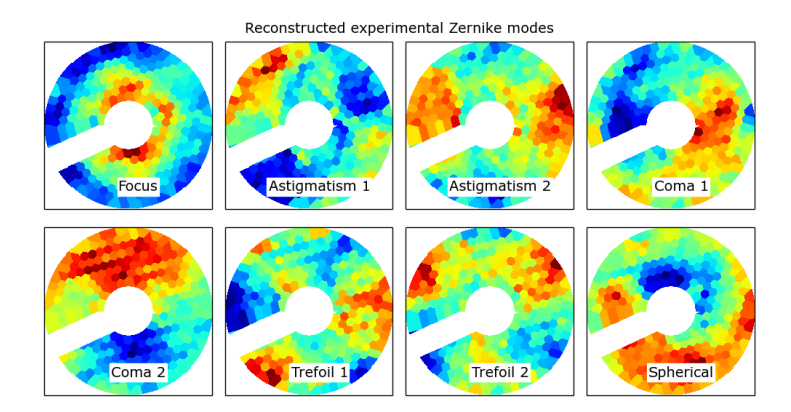
- asymétrie: pseudo inverse suffisamment riche
- ▲<sup>-1</sup> donne accès à tous les modes!
- impact mineur sur les propriétés de l'image



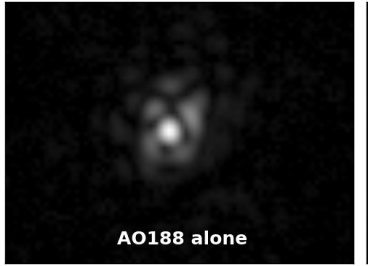
# Réponse modale théorique

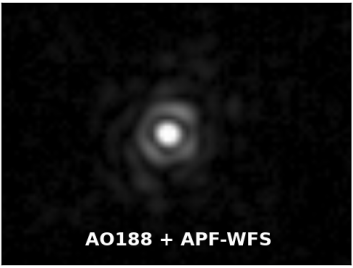
Zernike modes reconstructed by the linear phase transfer model Astigmatism 1 Astigmatism 2 Focus Coma 1 Trefoil 1 Trefoil 2 Coma 2 Spherical

# Réponse modale expérimentale



### Boucle fermée sur le ciel6







Subaru Coronagraphic Extreme Adaptive Optics

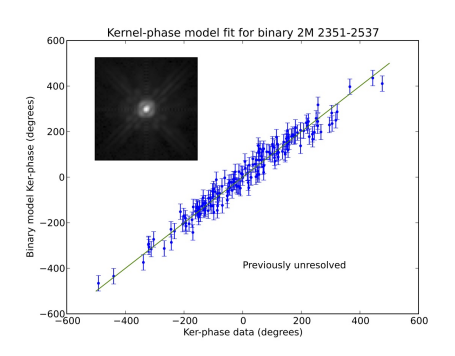


## Topic

- 1 un peu de contexte
  - les limites de l'imagerie OA
  - l'interférométrie à masque non-redondant
- 2 les principes
  - images dominées par la diffraction
  - modèles élémentaires
  - généralisation de l'approche
- des applications
  - détection de compagnons
  - analyse de surface d'onde
- conclusions
  - Project KERNEL



### post-processing de données archive



- systématique:
  - HST NICMOS
  - Keck NIRC2
  - VLT VISIR, NACO...

- critères utilisation immédiate:
  - échantillonnage correct
  - images non-saturées
  - bonne correction adaptative



### étendre le domaine d'utilisation

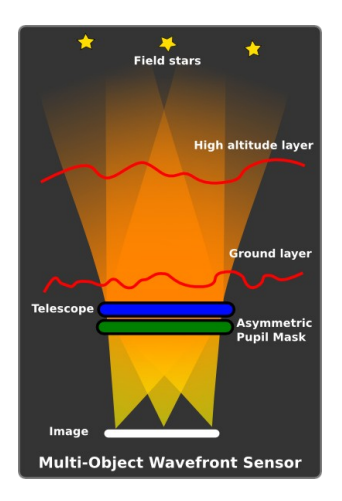
#### Meilleure tolérance aux aberrations:

- approches multi- $\lambda$
- approches différentielles
- applications aux courtes longueurs d'onde

#### En pratique, le travail va demander:

- un pipeline kernel-phase amélioré
- travail de simulation numérique
- validation expérimentale

## développer de nouvelles applications



- réduction de données IFS
- mode haut contraste
- AO multi-référence
- reconstruction d'image

### merci!

